



# 扩散模型赋能的无线通信新方法





## 大纲



- **●1** 研究背景与动机
- **3**新方法之鲁棒传输
- 新方法之内容生成
- 新方法之优化求解
- **工作总结与展望**



## 通信与AI融合

#### ■移动网络演进到智能化6G系统

- □ 移动网络演进: 数字化->网络化->智能化
- □ 通信与AI融合是6G网络的典型应用场景
- □ 6G关键变量: **A**

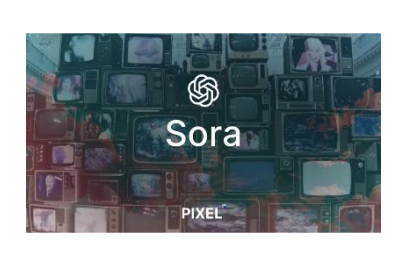
#### ■人工智能进化到生成式AI时代

- □ 2022年11月, ChatGPT拉开新时代大幕
- □ 传统AI: 依赖于规则和算法, 执行特定任务
- □ 生成式AI: 能依据学习到的模式创造前所未有的内容



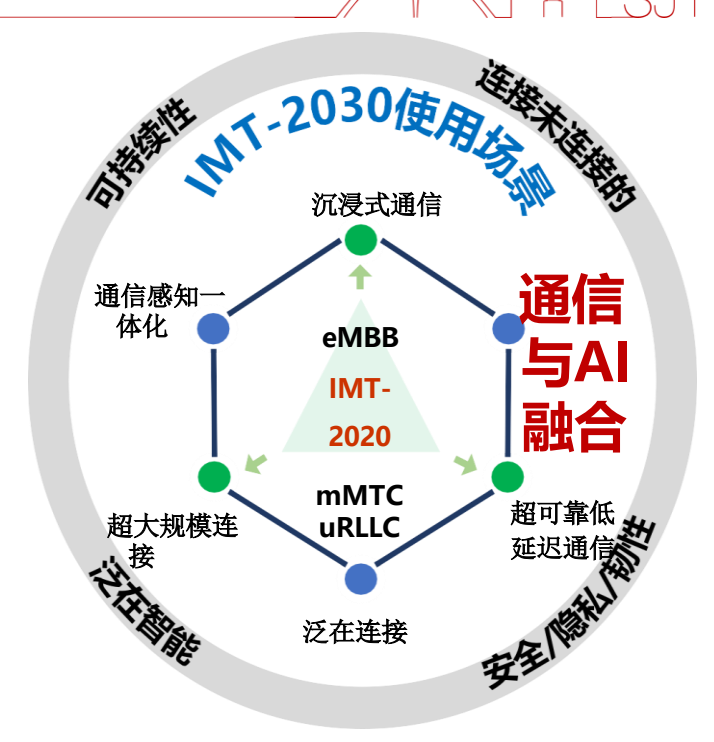
文生文







文生视频



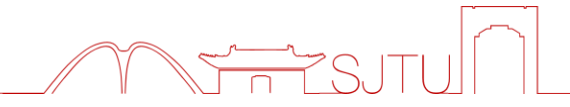
2023年 ITU 6G典型应用场景



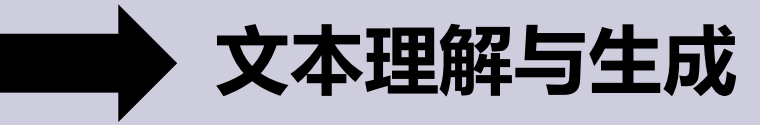
2025年8月 IMT-2030 (6G) 推进组成立 6G AI特设组

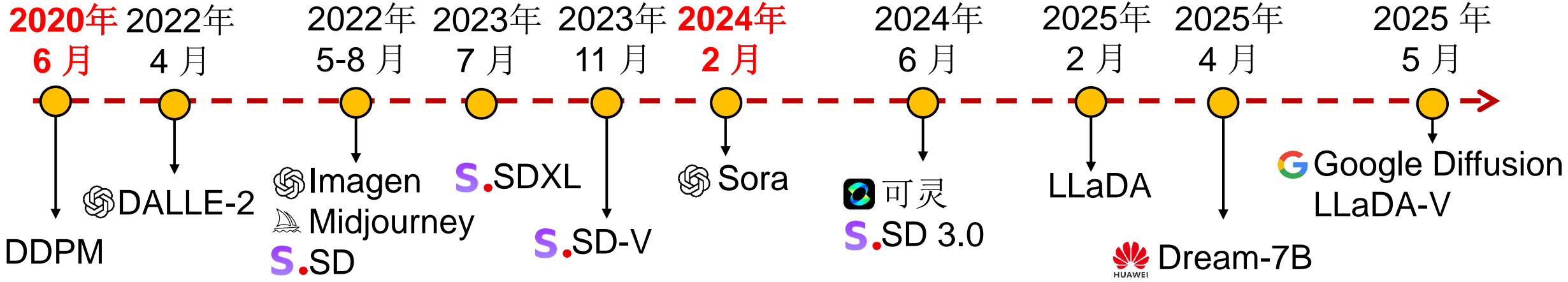


## 生成式AI时代



## ■扩散模型 (DM) 图像视频理解与生成





prompt: 电影质感, 摄影作品,哈苏, 极简主义, 意境构 图,大面积留白, 雾凇,一座苏州园 林里,树梢挂满了 雾凇,超高质量, 超精细,最佳质量, 禅意,东方意境



Write a story that ends with "Finally, Joey and Rachel get Finally, Joey and Rachel get married.



## 扩散模型基本原理



### ■扩散模型

- □ 原理: 学习由于噪声引起的信息衰减, 然后使用学习到的模式来生成图像
- □ 前向扩散过程:数据一步步加随机噪声

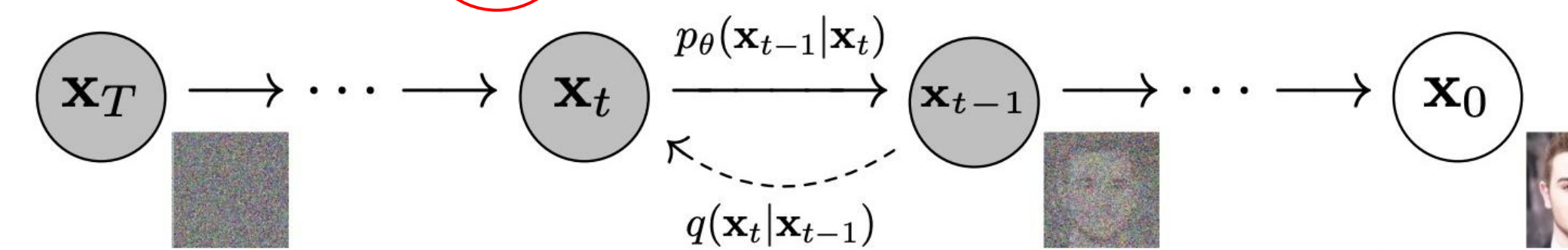
$$\checkmark x_t = \sqrt{\alpha_t} x_{t-1} + \sqrt{1 - \alpha_t} \epsilon \epsilon \sim N(0, I)$$

$$\checkmark x_t = \sqrt{\prod_{i=1}^{t} \alpha_i} x_0 + \sqrt{1 - \prod_{i=1}^{t} \alpha_i} \epsilon \epsilon \epsilon \sim N(0, I)$$

深度模型所预测的噪声(用于去噪)

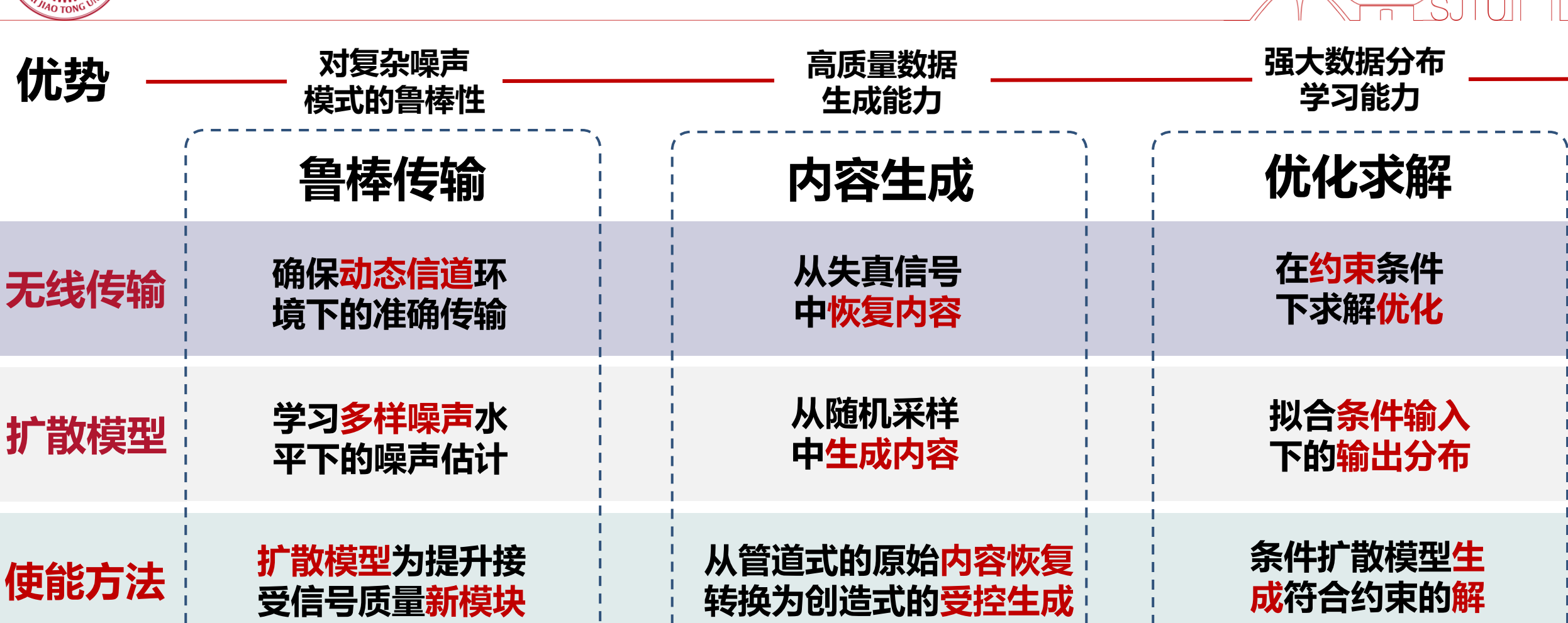
□ 反向采样过程: 从有大量随机噪声中生成图片

$$\checkmark x_{t-1} = \frac{1}{\sqrt{\alpha_t}} \left( x_t - \frac{1 - \alpha_t}{\sqrt{1 - \overline{\alpha}_t}} \left( \epsilon_{\theta}(x_t, t) \right) + \sigma_t \mathbf{z}, \ \mathbf{z} \sim N(0, \mathbf{I}) \right)$$





## 扩散模型能否使能通信?



## 扩散模型具有驱动无线传输新方法的可能!



## 大纲



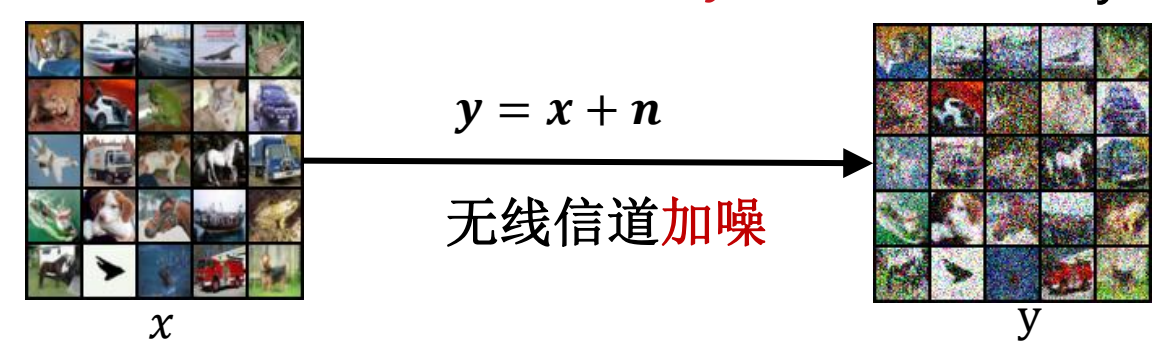
- **研究背景与动机**
- **新方法之鲁棒传输**
- 新方法之内容生成
- 新方法之优化求解
- **工作总结与展望**



## 鲁棒传输-1: 信道去噪扩散模型 (CDDM)

#### ■扩散模型 vs 无线传输

- $lacksymbol{\square}$  扩散模型通过加噪训练,逐步去噪生成内容。噪声公式:  $x_t = \sqrt{\bar{\alpha}_t} x_0 + \sqrt{1 \bar{\alpha}_t} \epsilon$
- **口** 无线传输,例如AWGN信道,接收信号为: y = x + n,要从y中恢复x





#### 能否通过DM去噪方式去除信道噪声,降低信道噪声影响,提升 传输性能?

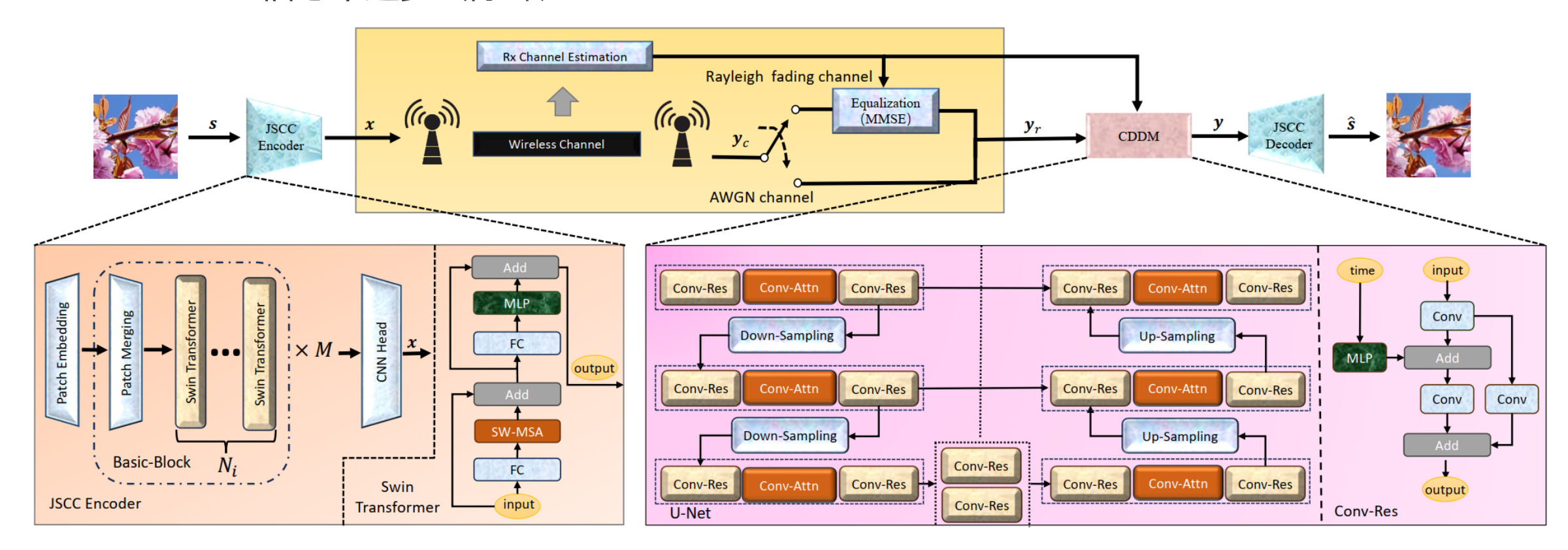




## 鲁棒传输-1: 信道去噪扩散模型 (CDDM)

#### ■ 提出了CDDM:将DM重新设计在无线接收端

□ **基本思路**:根据信道特点设计前向扩散,推导自适应反向采样步长与采样算法,实现从接收信号中逐步去除噪声



[1] T. Wu, Z. Chen, D. He, L. Qian, Y. Xu, M. Tao, and W. Zhang, "CDDM: Channel Denoising Diffusion Models for Wireless Semantic Communications," *IEEE Trans. Wireless Commu*. Sept. 2024. (Best readings, 代码: https://github.com/Wireless3C-SJTU/CDDM-channel-denoising-diffusion-model-for-semantic-communication)



## 鲁棒传输-1: CDDM模型设计



#### 前向过程

□ 接收信号条件概率模型: 加权高斯分布

$$p(\mathbf{y_r}|\mathbf{x}, \mathbf{h}) \sim N\left(\mathbf{y_r}; \frac{1}{\sqrt{1+\sigma^2}} \mathbf{W_s} \mathbf{x}, \frac{\sigma^2}{1+\sigma^2} \mathbf{W_n^2}\right)$$

□ CDDM前向扩散过程:同权重的高斯分布

$$m{x}_0 = m{W}_{m{s}}m{x}$$
 ,  $m{x}_t = \sqrt{\overline{lpha}_t}m{x}_0 + \sqrt{1-\overline{lpha}_t}m{W}_{m{n}}m{\epsilon}$ 

 $\square$  前向过程与接受信号关系: 在第m步上  $D_{KL}(q(\mathbf{x}_m|\mathbf{x}_0,\mathbf{h})||p(\mathbf{y}_r|\mathbf{x}_0,\mathbf{h})) = 0$ 

作用

将信道加噪过程,理解为逐步加噪, 从而在反向采样过程中逐步去噪

#### 训练过程

**□** 通过分布拟合,推导为噪声预测: $Loss = E_{x_0,\epsilon,t} \| \epsilon - \epsilon_{\theta}(x_t, h_r, t) \|_2^2$ 

作用

用网络的参数分布,拟合真实信道的后验分布

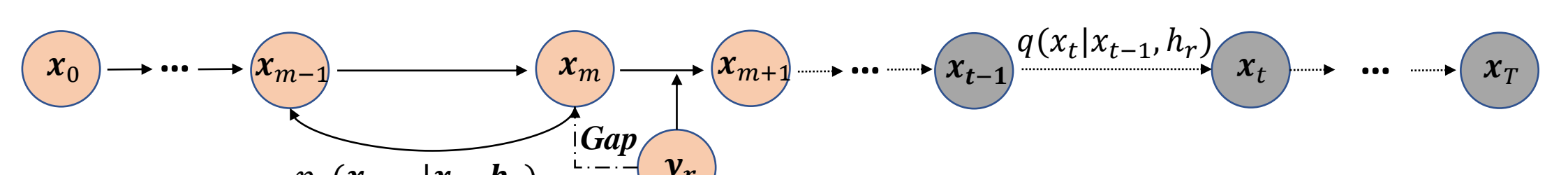
#### 采样过程

- lue 根据信道噪声,选择采样步长 m:  $oldsymbol{x}_m = oldsymbol{y}_{oldsymbol{r}}$
- □ 根据后验概率分布表达式去噪采样:

$$\mathbf{x}_{t-1} = \left(\mathbf{x}_t - (1 - \alpha_t) \mathbf{W}_{\mathbf{n}} \epsilon_{\theta}(\mathbf{x}_t, t) / \sqrt{1 - \bar{\alpha}_t}\right) / \sqrt{\alpha_t}$$

作用

对接受信号去噪,实现一致的准确快速采样





## 鲁棒传输-1:条件熵减理论证明



在  $\mathbb{E}(\epsilon_{\theta,i}(\cdot)) = 0$  条件下,网络收敛至  $\mathbb{E}(||\epsilon_i - \epsilon_{\theta,i}(\cdot)||_2^2) \le \tau$  时, $H(x_{t-1,i}|x_0,h) \le H(x_{t,i}|x_0,h)$ 

的充分条件是:

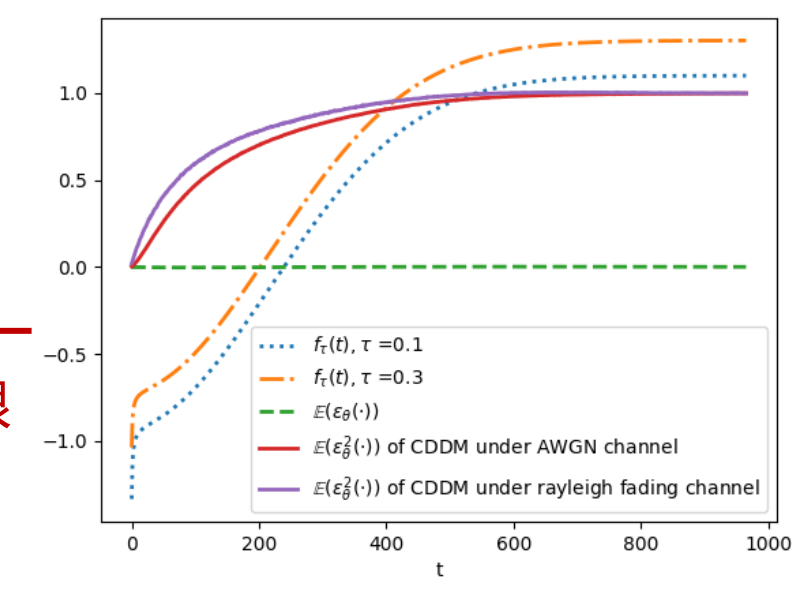
$$\mathbb{E}\left(\epsilon_{\theta,i}^{2}(\cdot)\right) \ge \frac{1 - \bar{\alpha}_{t} - \beta_{t}\gamma_{t-1}}{\gamma_{t-1}^{2} - \beta_{t}\gamma_{t-1}} - \frac{\beta_{t}^{2} - \beta_{t}\gamma_{t-1}}{\gamma_{t-1}^{2} - \beta_{t}\gamma_{t-1}}\tau = f_{\tau}(t)$$

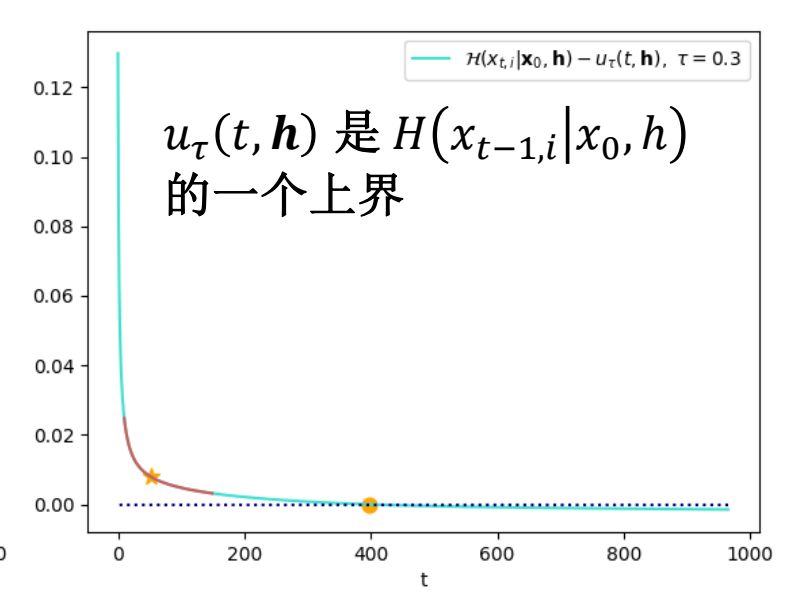
直接说明

- > 网络输出零均值条件成立
- > 条件熵降低存在一个t范围
- > 不同t对熵减小幅度不同

指导

- ➤ 根据KL选择m选择存在上限
- > 不同SNR的增益不相同

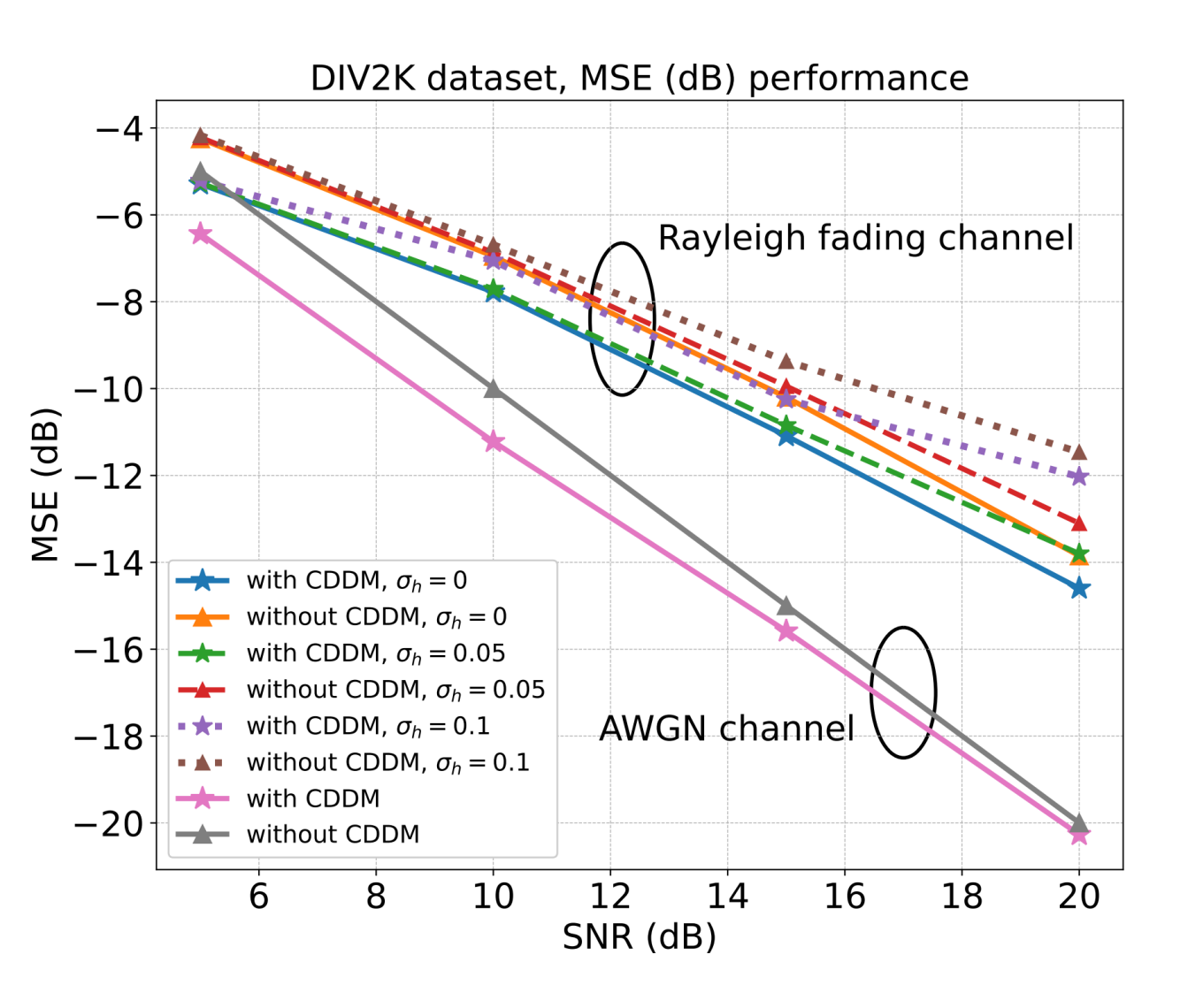






## 鲁棒传输-1: MSE实验结果

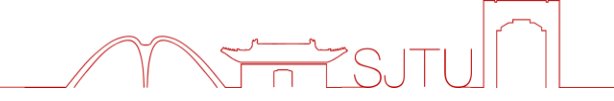


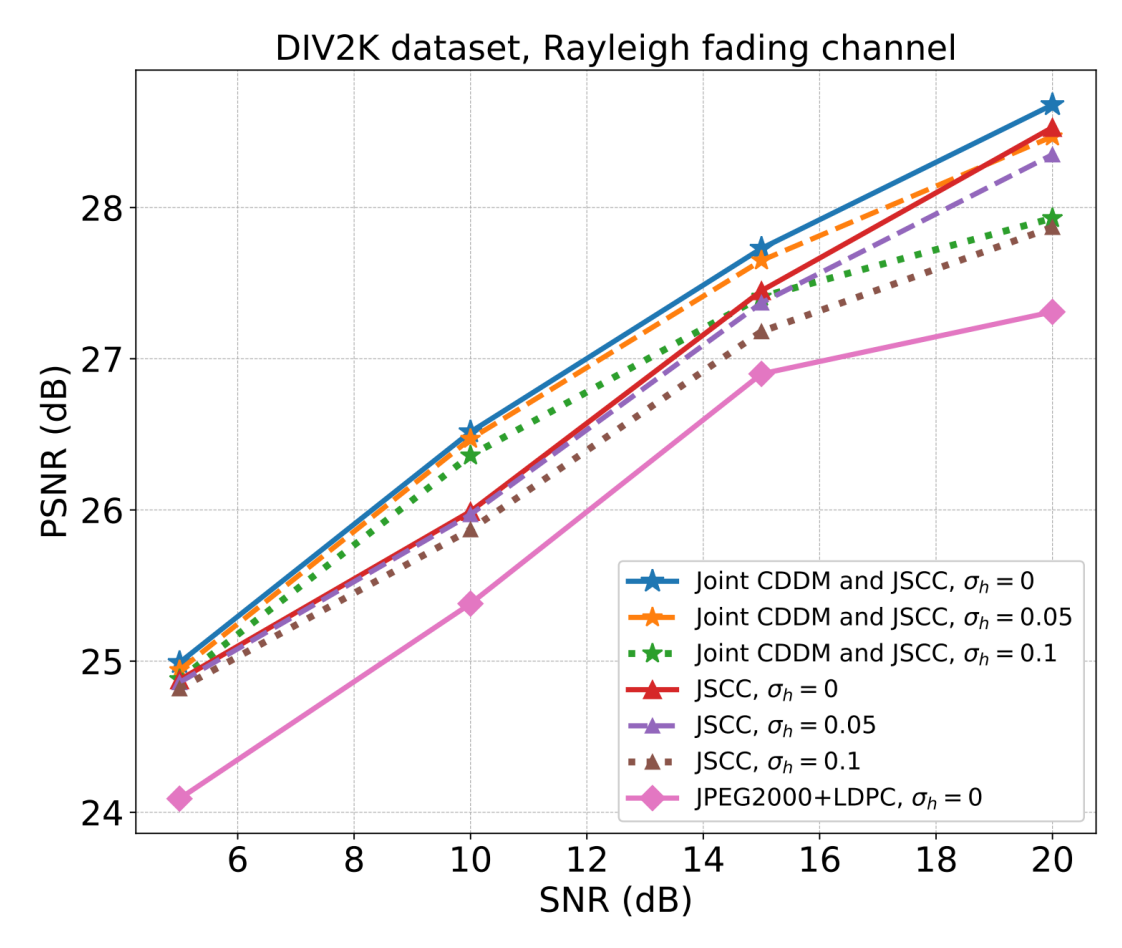


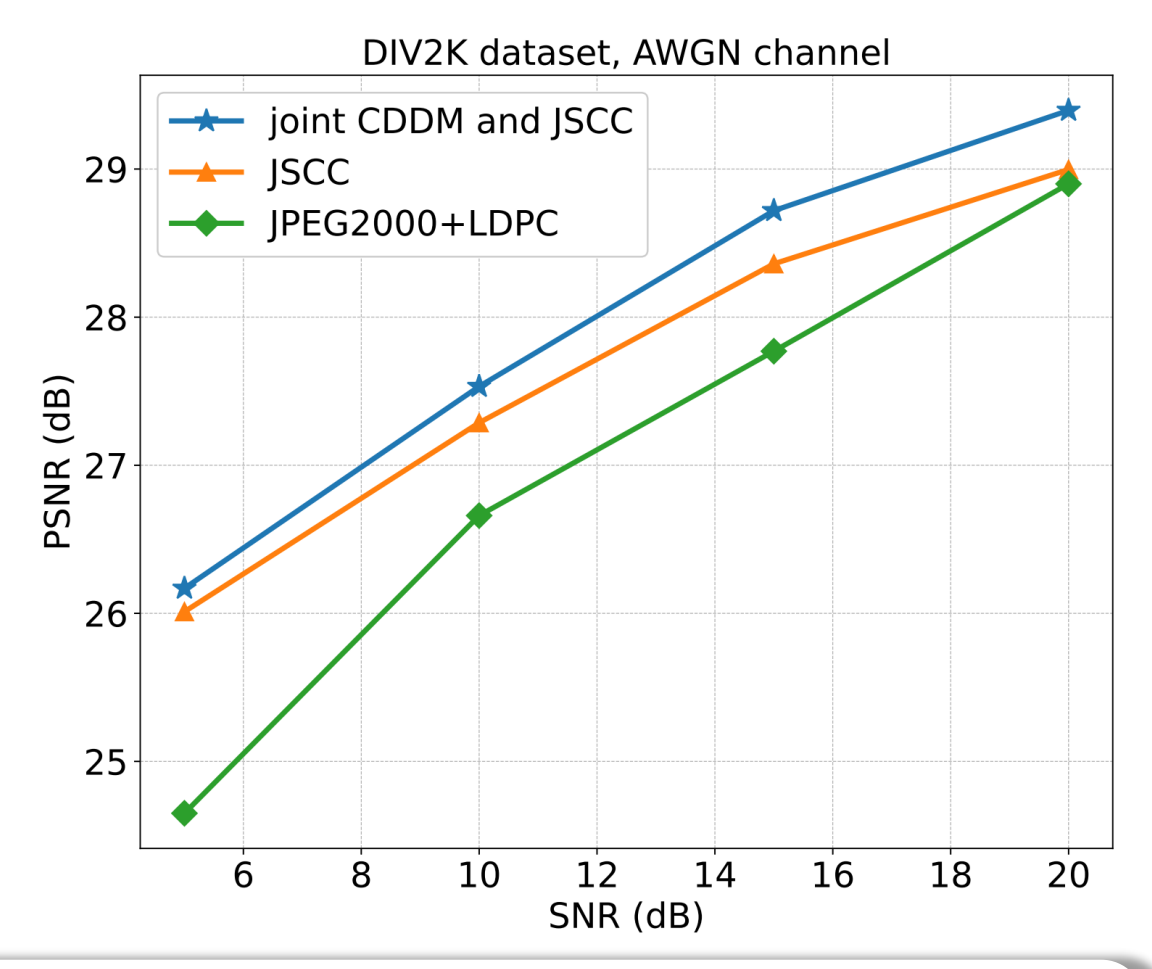
- □ 实验条件:
- ➤ DIV2K 高清数据集
- > 衰落信道与高斯信道
- ▶ 编码器压缩率: 0.0234
- □ 实验对象:
- ▶ y<sub>r</sub>与x的MSE (without CDDM), 在不同的信噪比和信道估计误差条件下,对比y与x的MSE (with CDDM)
- □ 实验结果:
- ➤ 在所有SNR,所有信道估计误差条件下,衰落信道与高斯信道的MSE对比都有增益 (0.9dB@SNR=15 dB fading)



## 鲁棒传输-1: PSNR实验结果





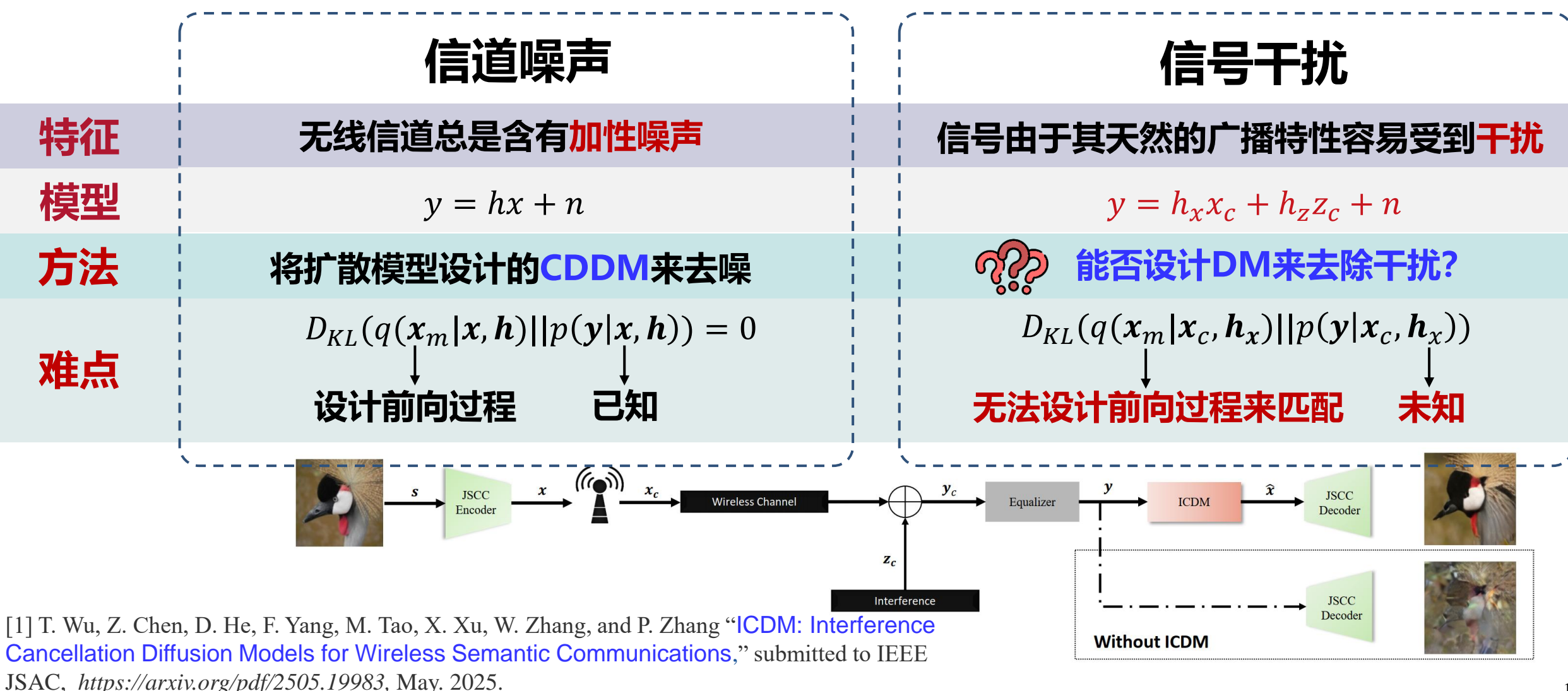


- ➤ DIV2K 高清数据集
- ➤ 在所有SNR,衰落信道与高斯信道的PSNR性能都有增益 (0.53 dB@SNR=10dB, Fading)



## 鲁棒传输-2: 干扰消除扩散模型 (ICDM)

#### ■信道噪声vs 信号干扰



14



## 鲁棒传输-2: 干扰消除扩散模型 (ICDM)\_

#### 问题建模

□ 特征分析:

□ 问题建模:对信号和干扰的联合MAP估计

$$(\hat{\mathbf{x}}, \hat{\mathbf{z}}) = \arg\max_{\mathbf{x}, \mathbf{z}} \log p_{\mathbf{x}, \mathbf{z} | \mathbf{y}, \mathbf{h}_{\mathbf{x}}}(\mathbf{x}, \mathbf{z} | \mathbf{y}, \mathbf{h}_{\mathbf{x}}),$$

□ 理论证明: 求解问题可得他们的精准估计

$$||\hat{\mathbf{x}} - \mathbf{x}^*||^2 + ||\hat{\mathbf{z}} - \mathbf{z}^*||^2 \le \frac{1}{(\xi + \lambda_{min})^2} ||\mathbf{\Sigma} \mathbf{n}||^2.$$

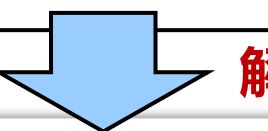
#### 求解方法

 $\Box$  基本思路: 朗之万<u>动力学</u>迭代  $\mathbf{v} = [\mathbf{x}; \mathbf{z}]$ 

$$\bar{\mathbf{v}}_t = \bar{\mathbf{v}}_{t-1} + \frac{\varsigma}{2} \nabla_{\mathbf{v}} \log p_{\mathbf{v}|\mathbf{y},\mathbf{h}_{\mathbf{x}}} (\bar{\mathbf{v}}_{t-1}|\mathbf{y},\mathbf{h}_{\mathbf{x}}) + \sqrt{\varsigma} \epsilon_{\mathbf{v}},$$

$$\nabla_{v} \log p_{v|y,h_{x}}(\overline{v}_{t-1}|y,h_{x}) = \nabla_{v} \log p_{v}(\overline{v}_{t-1}) + \nabla_{v} \log p_{v|y,h_{x}}(y|\overline{v}_{t-1},h_{x})$$
需要估计

- **口** 迭代结果: when  $\varsigma \to 0, T \to \infty$ , 理论证明收敛  $\overline{\boldsymbol{v}}_T \to \operatorname{argmax} \log p_{\boldsymbol{v}|\boldsymbol{y},\boldsymbol{h}_x}(\boldsymbol{v}|\boldsymbol{y},\boldsymbol{h}_x)$  于该问题的解
- **口 存在问题**:对数分布梯度未知,迭代次数多



#### 解决思路

#### 信号干扰先验梯度

使用 Tweedie 公式证明: 两个独立DM学习 $\nabla_v \log p_v(\overline{v}_{t-1})$ 

#### 信道转移概率梯度

使用高斯分布性质推导:  $\nabla_v \log p_{v|y,h_x}(y|\overline{v}_{t-1},h_x)$ 表达式

#### 快速数值迭代方法

整合高阶微分方程数值快速求解 MAP 问题



## 鲁棒传输-2: 干扰消除扩散模型 (ICDM)



#### 信号干扰先验梯度

 $\square$  构建 $x_t, z_t$ :

$$x_t = \sqrt{\overline{\alpha}_t} x_T + \sqrt{1 - \overline{\alpha}_t} \epsilon_x, \quad z_t = \sqrt{\overline{\alpha}_t} z_T + \sqrt{1 - \overline{\alpha}_t} \epsilon_z$$

□ 噪声与对数梯度关系: Tweedie 公式 <sup>噪声</sup>

$$\nabla_{\mathbf{x}} \log p_{\mathbf{x}}(\mathbf{x}_t) = \bigcirc \frac{1}{\sqrt{1-\alpha_t}} \epsilon_{\mathbf{x}}, \quad \nabla_{\mathbf{z}} \log p_{\mathbf{z}}(\mathbf{z}_t) = \bigcirc \frac{1}{\sqrt{1-\alpha_t}} \epsilon_{\mathbf{z}}.$$

□ 训练DMs估计噪声,可以获得梯度估计

#### 信道转移概率梯度

□ 推导方法: 高斯边际分布+贝叶斯

$$p_{\mathbf{y}|\mathbf{v}_{t},\mathbf{h}_{\mathbf{x}}}(\mathbf{y}|\mathbf{v}_{t},\mathbf{h}_{\mathbf{x}}) = \int p_{\mathbf{v}_{T}|\mathbf{v}_{t}}(\mathbf{v}_{T}|\mathbf{v}_{t})p_{\mathbf{y}|\mathbf{v}_{T},\mathbf{h}_{\mathbf{x}}}(\mathbf{y}|\mathbf{v}_{T},\mathbf{h}_{\mathbf{x}})d\mathbf{v}_{T}.$$

$$p_{\mathbf{v}_{T}|\mathbf{v}_{t}}(\mathbf{v}_{T}|\mathbf{v}_{t}) \propto p_{\mathbf{v}_{t}|\mathbf{v}_{T}}(\mathbf{v}_{t}|\mathbf{v}_{T})p_{\mathbf{v}_{T}}(\mathbf{v}_{T}). \rightarrow$$
假设

□ 最终表达式: 联合计算

$$\nabla_{\mathbf{v}_t} \log p_{\mathbf{y}|\mathbf{v}_t,\mathbf{h}_{\mathbf{x}}}(\mathbf{y}|\mathbf{v}_t,\mathbf{h}_{\mathbf{x}}) = \zeta_t^2 \mathbf{W}^T \mathbf{\Theta}_t^{-1} (\frac{\mathbf{y}}{\zeta_t} - \mathbf{W} \mathbf{v}_t).$$

#### 快速迭代算法

**口** 输入: 前p个样本  $\{\mathbf{x}_{t-m}\}_{m=1}^p \ \{\mathbf{z}_{t-m}\}_{m=1}^p$ 

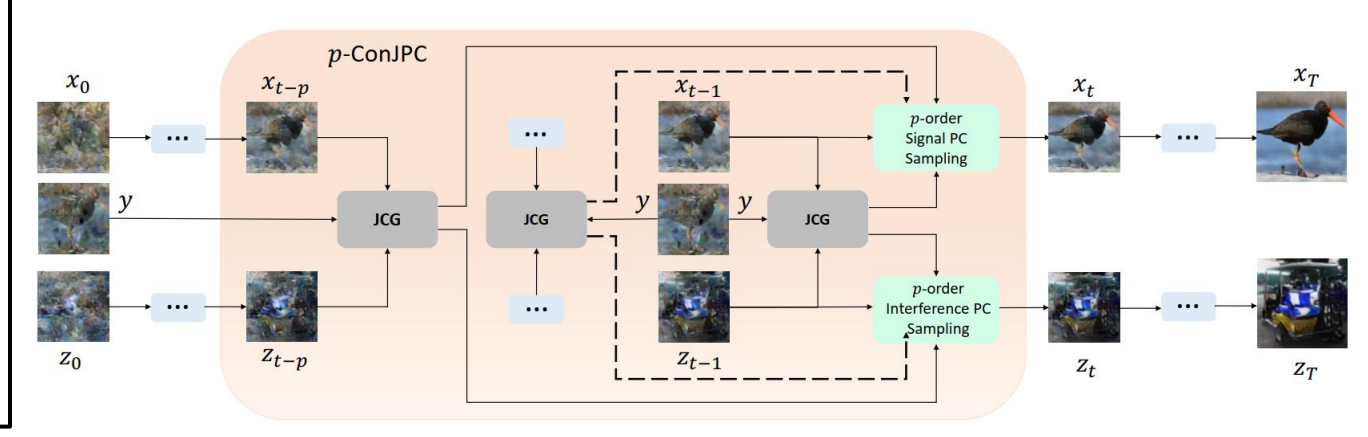
□ 过程:

1. JCG模块计算梯度:使用左侧推导计算p个样本对应的联合梯度

$$\mathbf{r}_{\theta}(\mathbf{x}_{t}, \mathbf{z}_{t}, \mathbf{y}, \mathbf{h}_{\mathbf{x}}, t) = \mathbf{s}_{\theta}(\mathbf{x}_{t}, t) - \beta \overline{\mathbf{r}}_{x}(\mathbf{x}_{t}, \mathbf{z}_{t}, \mathbf{y}, \mathbf{h}_{\mathbf{x}})$$
 DM输出-推 
$$\mathbf{r}_{\phi}(\mathbf{x}_{t}, \mathbf{z}_{t}, \mathbf{y}, \mathbf{h}_{\mathbf{x}}, t) = \mathbf{s}_{\phi}(\mathbf{z}_{t}, t) - \gamma \overline{\mathbf{r}}_{z}(\mathbf{x}_{t}, \mathbf{z}_{t}, \mathbf{y}, \mathbf{h}_{\mathbf{x}})$$
 导的表达式

2. 采样模块预测当前样本:使用 $x_{t-1}, z_{t-1}$ ,前p个梯度,结合预

估矫正方法预测样本





## 鲁棒传输-2:实验结果

#### ■ ICDM性能分析

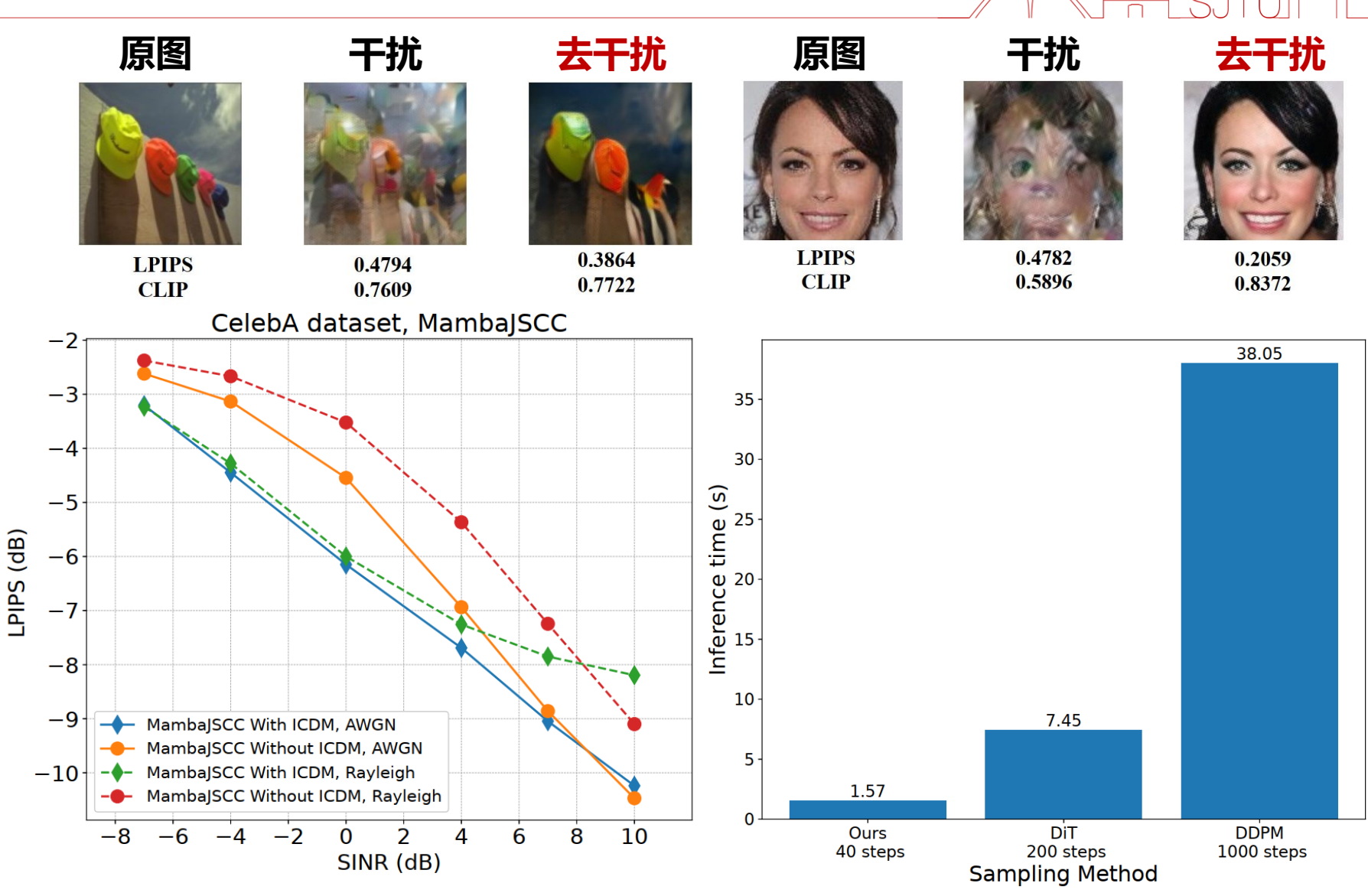
#### □ 数据集:

- ➤ CelebA人脸
- ➤ BIRDS鸟类
- ➤ Kodak真实世界

#### □ 效果:

- ▶ 显著改善重建效果
- ➤ 大幅提升<mark>感知质量</mark>
  LPIPS (2.47dB)

  @SINR=0 dB, Rayleigh
- ▶ 大幅缩短采样步数至40步





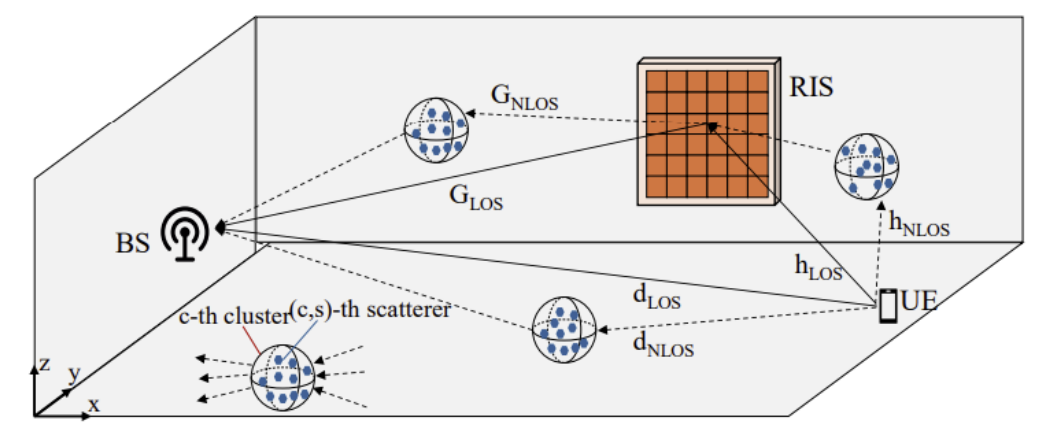
## 鲁棒传输-3:扩展



#### ■ 适用于信号估计相关场景

$$\bar{x} = x + \Delta x$$

□ 例如**信道估计**: h代替上述x, 利用DM 去估计误差



#### RIS场景下信道估计

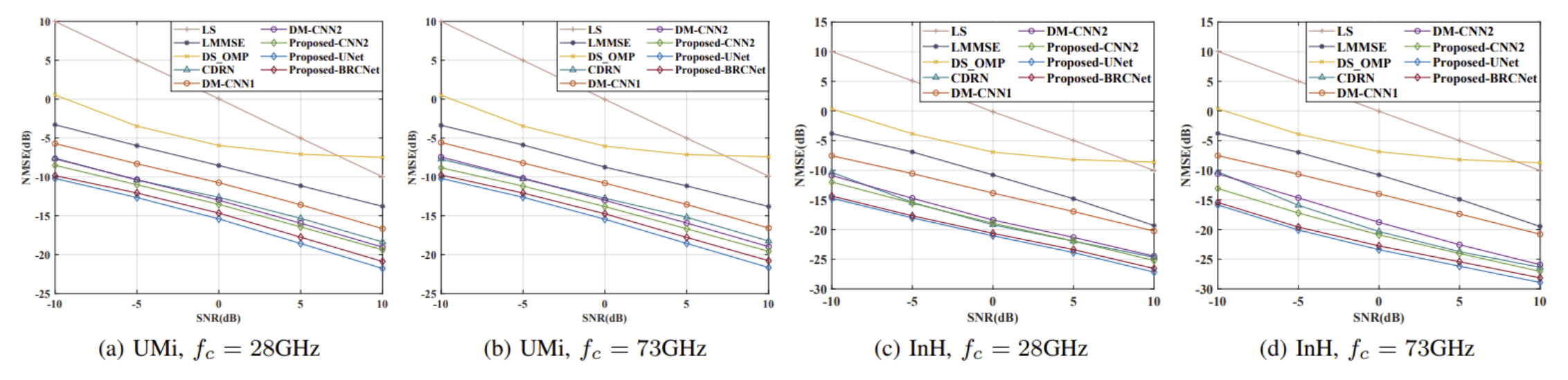


Fig. 3. NMSE performance versus SNR under different scenarios:(a) UMi,  $f_c = 28$ GHz. (b) UMi,  $f_c = 73$ GHz. (c) InH,  $f_c = 28$ GHz. (d) InH,  $f_c = 73$ GHz.

[1] Y. Wang, Y. Xu, C. Zhang, Z. Chen, etc. "Channel Estimation for RIS-Assisted mmWave Systems via Diffusion Models," submitted to IEEE Communications Letters, https://arxiv.org/abs/2506.07770, July 2025.



## 大纲



- **研究背景与动机**
- 新方法之鲁棒传输
- **新方法之内容生成**
- 新方法之优化求解
- **工作总结与展望**



## 内容生成-1: 混合语义传输 (MoS)

#### THE SITUR

#### 扩散模型的受控生成

#### 多样的条件控制

扩散模型可以根据多种形式 和模态的条件生成内容

#### 多样性与一致性

生成内容多样,仅能够保证 语义一致性。

#### 如何赋能?

设计混合语义传输, 从不同角度控制内 容的定制化生成

#### 生成通信新方法

#### 灵活定制化通信

通信传输的对象变得灵活多 样,内容可个性定制

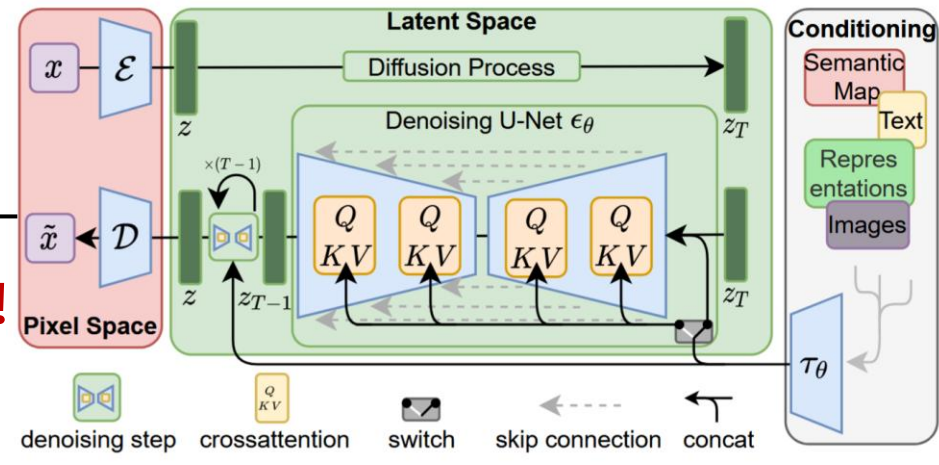
#### 传输内容一致性

传输内容的语义一致性和关 键对象的像素一致性



语义一致

对象改变!



◆ 南极洲岩 石上

企鹅站在

-只侏儒

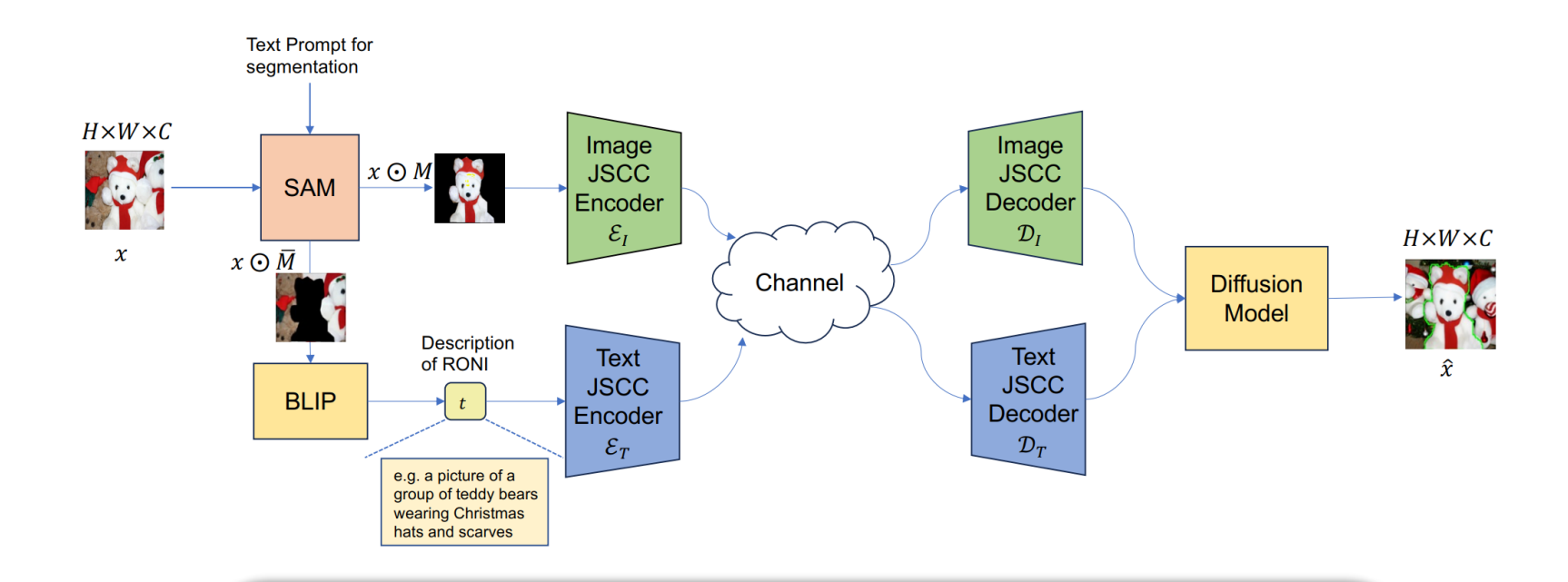




## 内容生成-1: 混合语义传输 (MoS)

#### **■ MoS传输策略**

- 1.使用SAM模型划分内容
- 2. 对于感兴趣 (ROI) 区域采用JSCC 直接编码图像传输
- 3. 对于不感兴趣(RONI)区域采用BLIP转换为文字后编码传输
- 4. 接收端使用扩散模型将混合面模态信息作为条件生成内容



- > ROI区域采用图像传输确保感兴趣的对象准确传输
- ➤ RONI区域采用文字传输以大幅降低通信量, 并保持语义一致性和灵活性



## 内容生成-1: 实验结果

#### ■ 实验设置

□ 数据集: RefCOCO

□ Baseline: 单一模态传输

□ 信道: AWGN 与 Rayleigh fading

□ 指标: ROI的像素级一致 (PSNR)

RONI的图文一致(CLIP)

#### ■ 性能分析

□ 大幅提高ROI区域的─致重建质量 (PSNR 2-3 dB)

□ 符号分配比例影响大

# 原图

单一模态传输

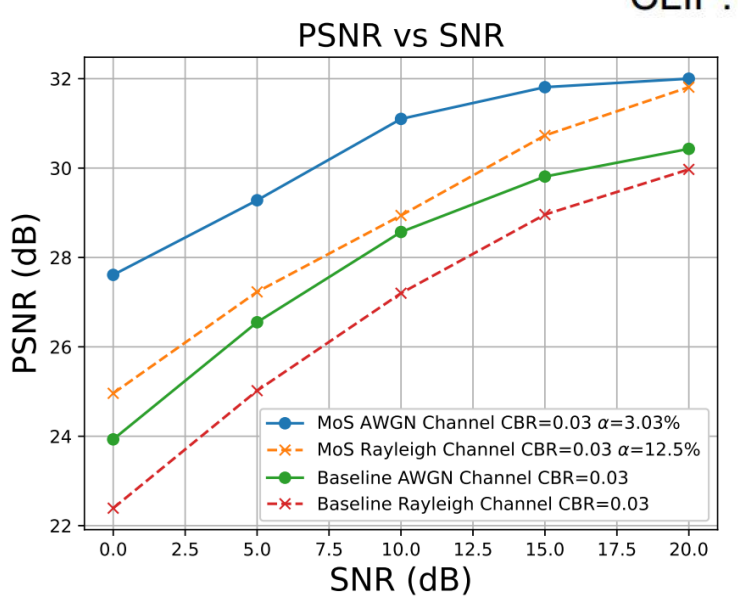


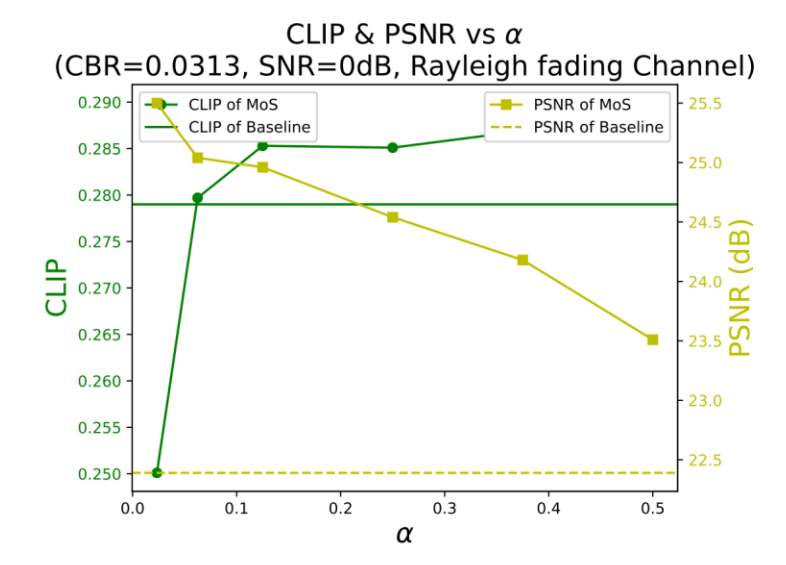
PSNR:31.59 dB CLIP: 0.271

混合模态传输



PSNR:33.04 dB CLIP: 0.314







## 内容生成-2: 联邦学习中数据生成



#### ■ 联邦半监督学习

#### 联邦场景

#### 非独立同分布

联邦学习中不同用户的数据通常是 有差异,非独立同分布的

#### 少量有标签

用户难以对私有数据打标签,造成可参考的有标签数据较少

#### 扩散模型

以别条生数

#### 关键挑战

#### 数据分布差异

本地数据仍为Non-IID,导致本地 模型与全局模型存在偏差,影响参 数聚合后的全局模型性能

#### 少样本性能受限

有标签数据量较少,训练得到的分 类模型性能受限

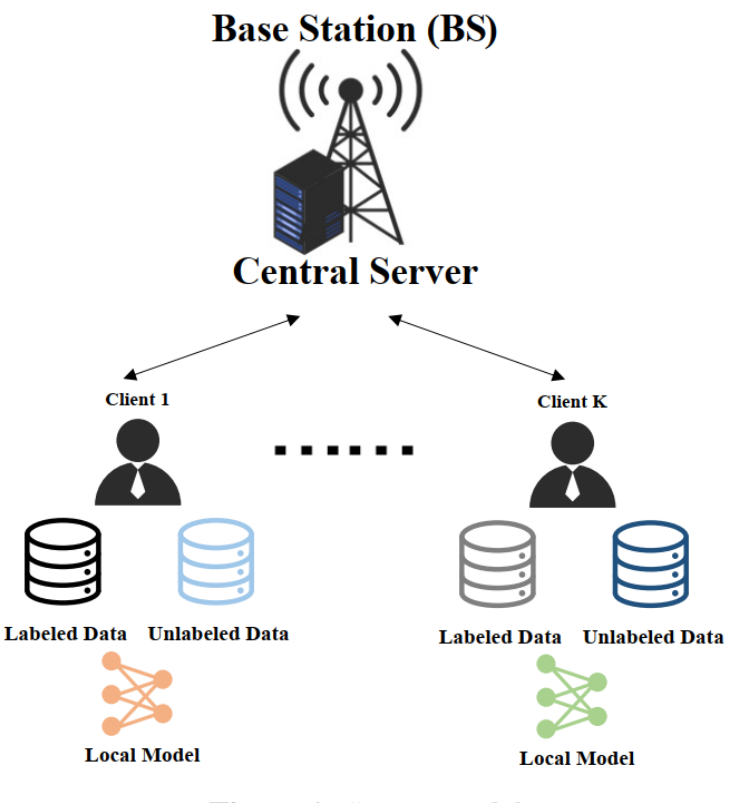


Figure 1. System model

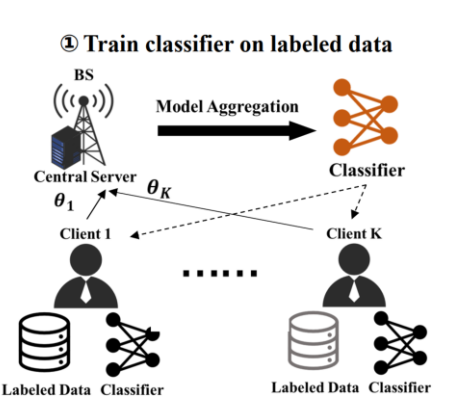
### 扩散模型带来的新方法: 直接根据类别生成带有标签的全局样本!



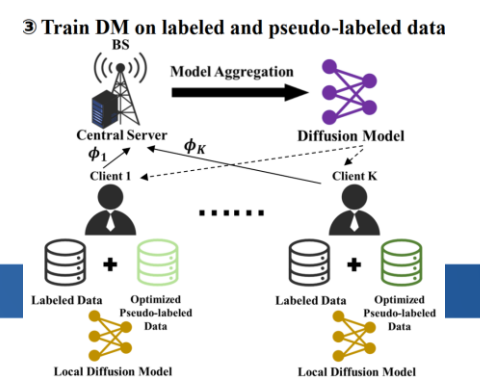
## 内容生成-2: 扩散模型赋能的联邦半监督

#### ■ 扩散模型赋能的联邦半监督学习

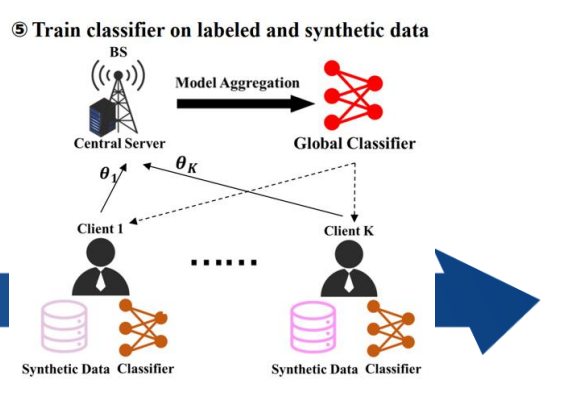
1.联邦少 标签训练 分类器



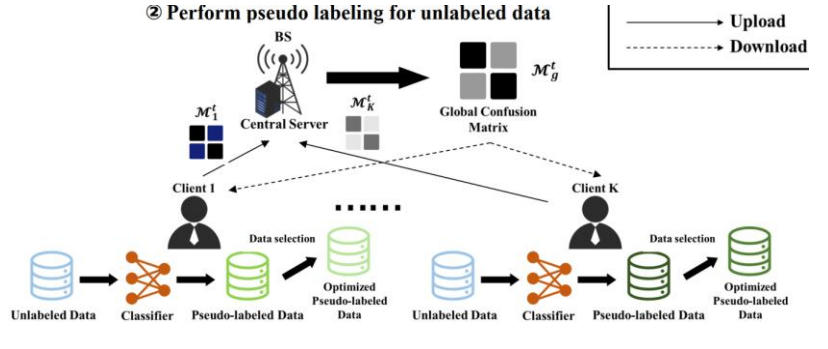
3. 根据混淆矩阵, 筛选数据,联邦 训练扩散模型



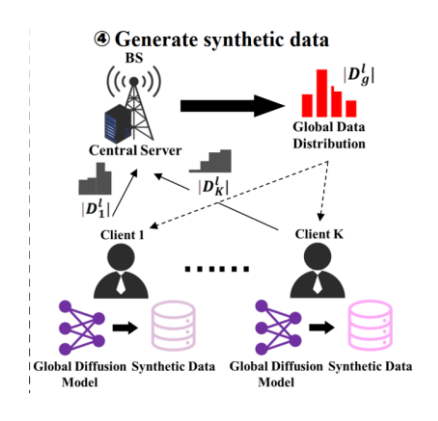
5. 重新训练 联邦分类器



2. 使用全局分类器打伪标签



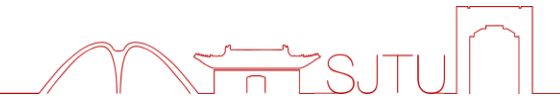
4. 全局扩散 模型<mark>合成全局</mark> 分布数据



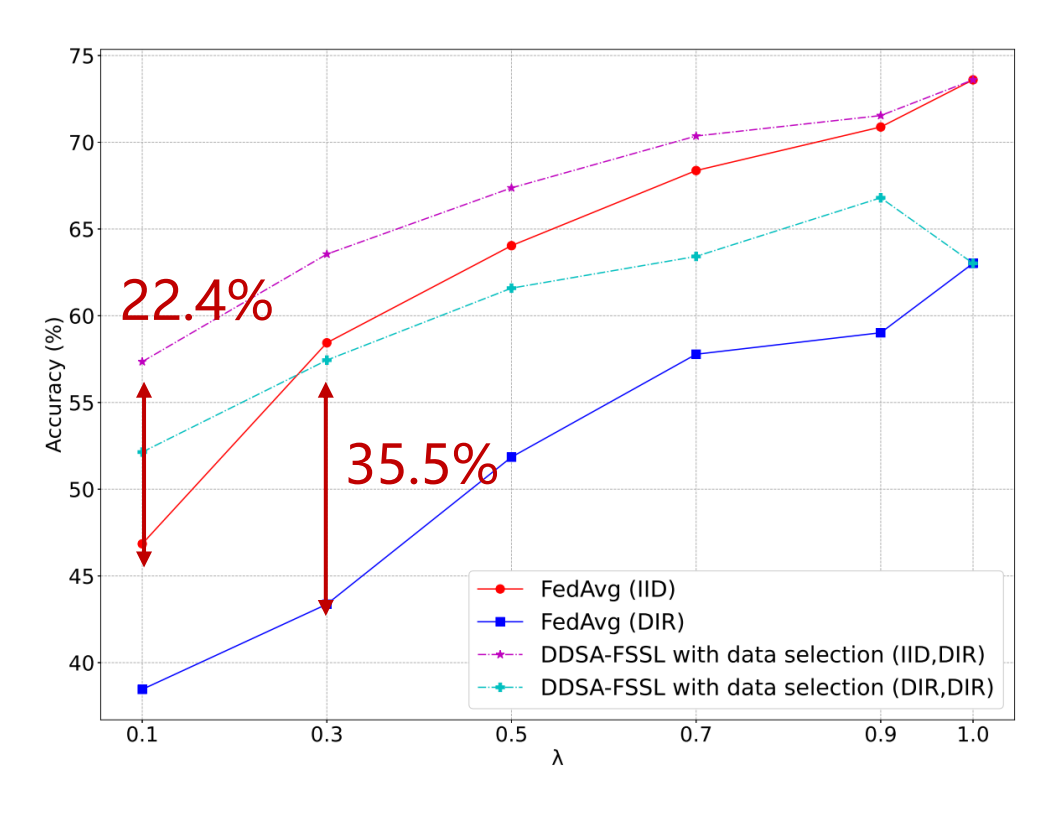
- ➤ 联邦训练DM能生成全局数据,缩小本地模型与全局模型差异
- ➤ DM根据类别生成内容,使得内容与标签特征更贴近

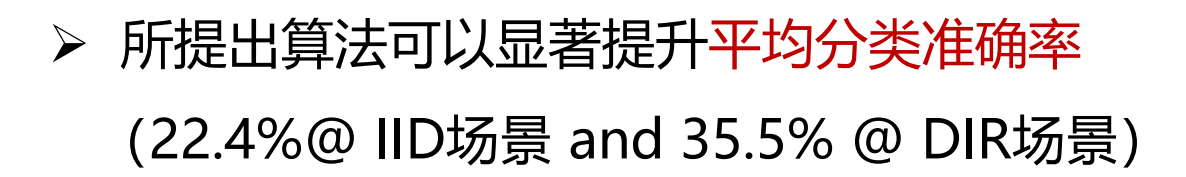


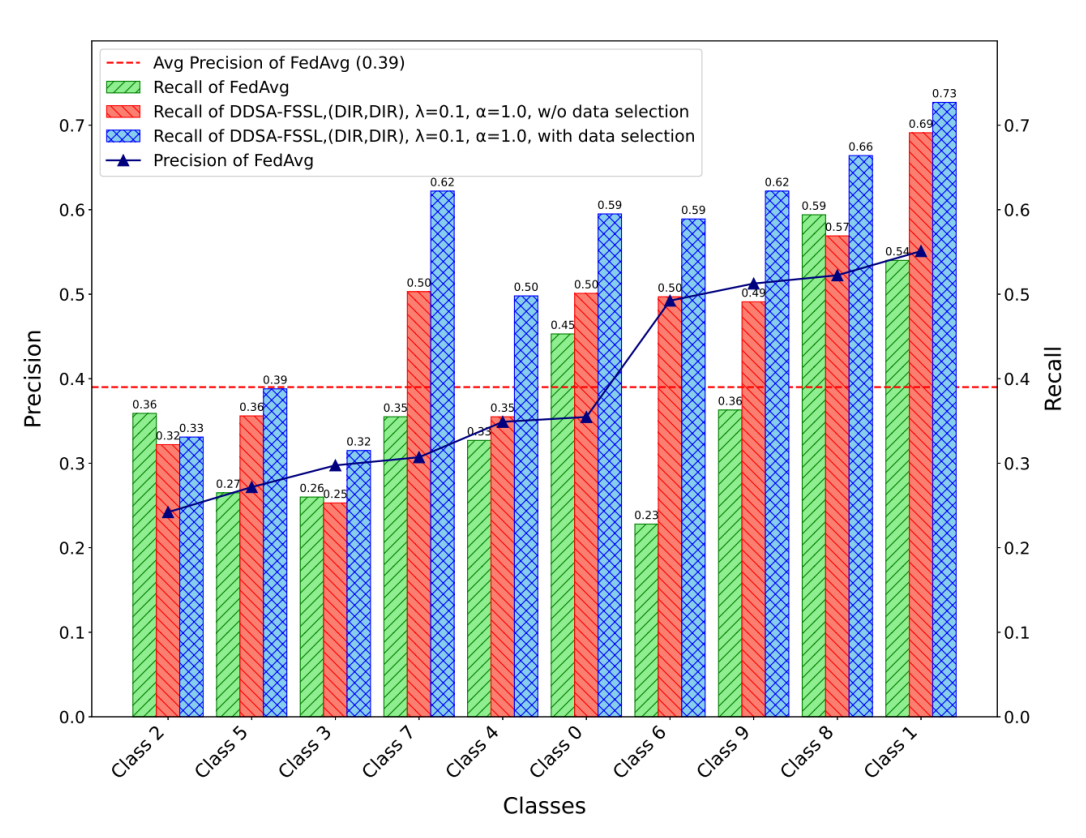
## 内容生成-2: 实验结果



#### ■ **实验结果:** CIFAR10,Fashion MNIST, SVHN 数据集







- ▶ 显著提升各种类别的召回率
- > 对于fedavg下精确率高的类别,召回率提升更多
- 选择高置信度标签数据可以显著提升性能



## 大纲



- **研究背景与动机**
- 新方法之鲁棒传输
- 新方法之内容生成
- 新方法之优化求解
- **工作总结与展望**

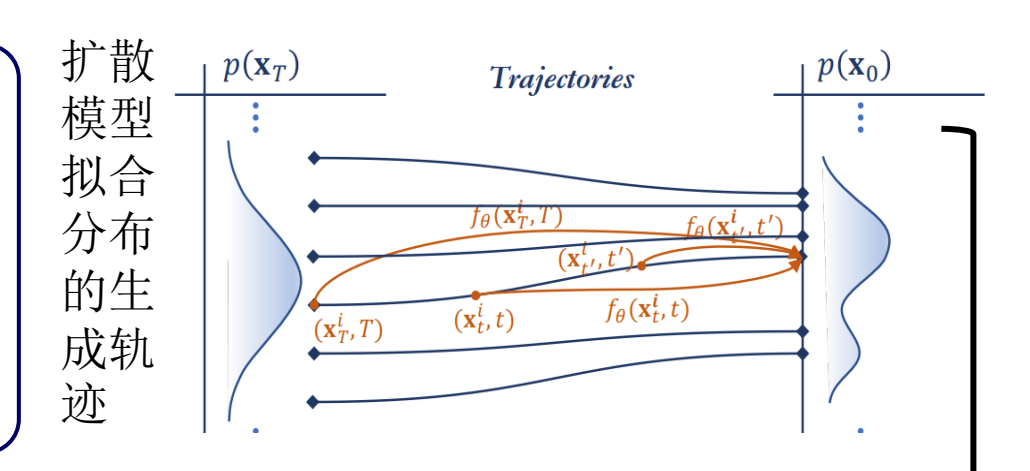


## 优化求解: 优化问题中解的生成

#### 扩散模型的解生成

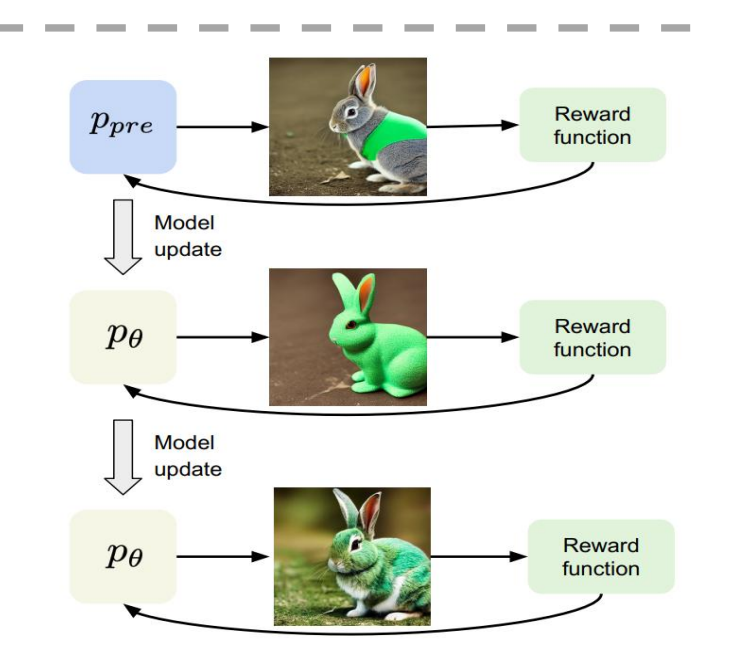
#### 分布拟合

扩散模型根据优化问题条件生成解的分布,对于解的多峰分布拟合效果好



#### 随机探索

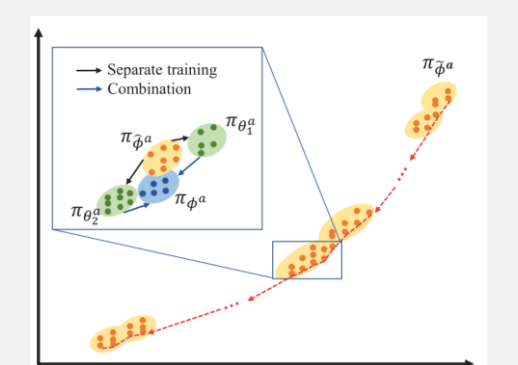
扩散模型基于概率密度梯 度来生成轨迹,增加强化 学习探索过程的随机性 强学微扩模的片成化习调散型图生



#### 两者结合, 求解复杂非凸优化问题

扩散模型预训练 公 强化学习微调



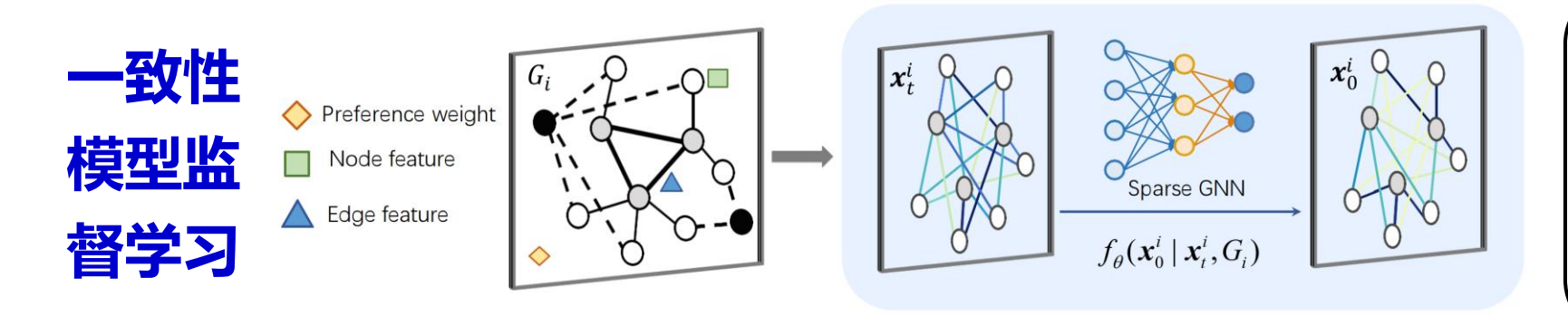


问题的帕累托前沿



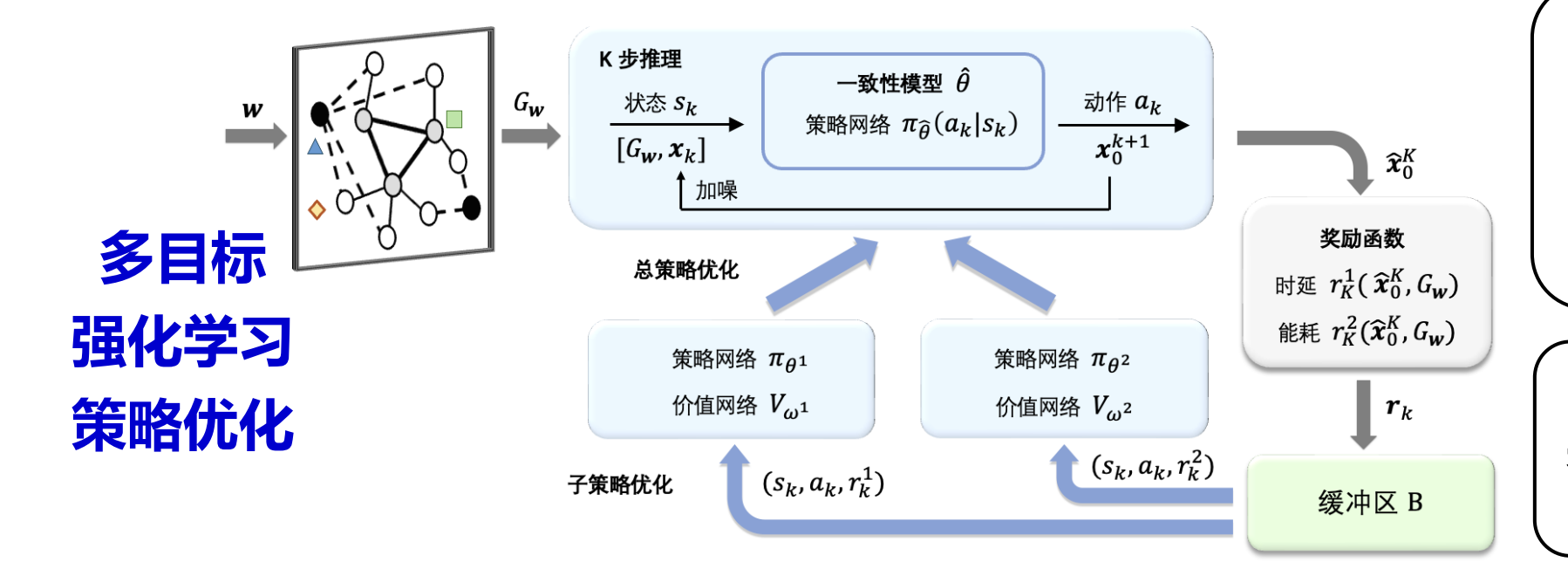
## 优化求解:多目标组合优化问题的解生成

#### ■ MO-CMPO生成策略



GNN: 图神经网络特征提取

对于变量离散的组合优化问题, 采用图神经网络的节点、边和 全局信息,提取问题特征



CM:一致性模型监督学习

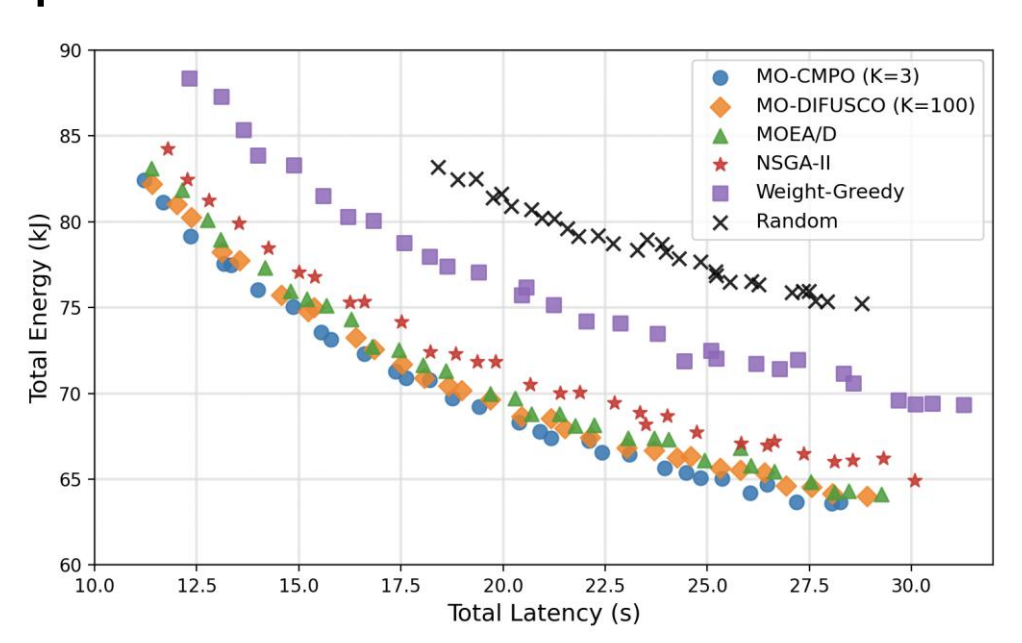
CM作为少量推理步数的扩散模型,基于图结构条件生成每个单目标上的解

MO-RL: 多目标RL策略优化 采样偏好权重,结合多个目标 的策略分布,探索帕累托前沿

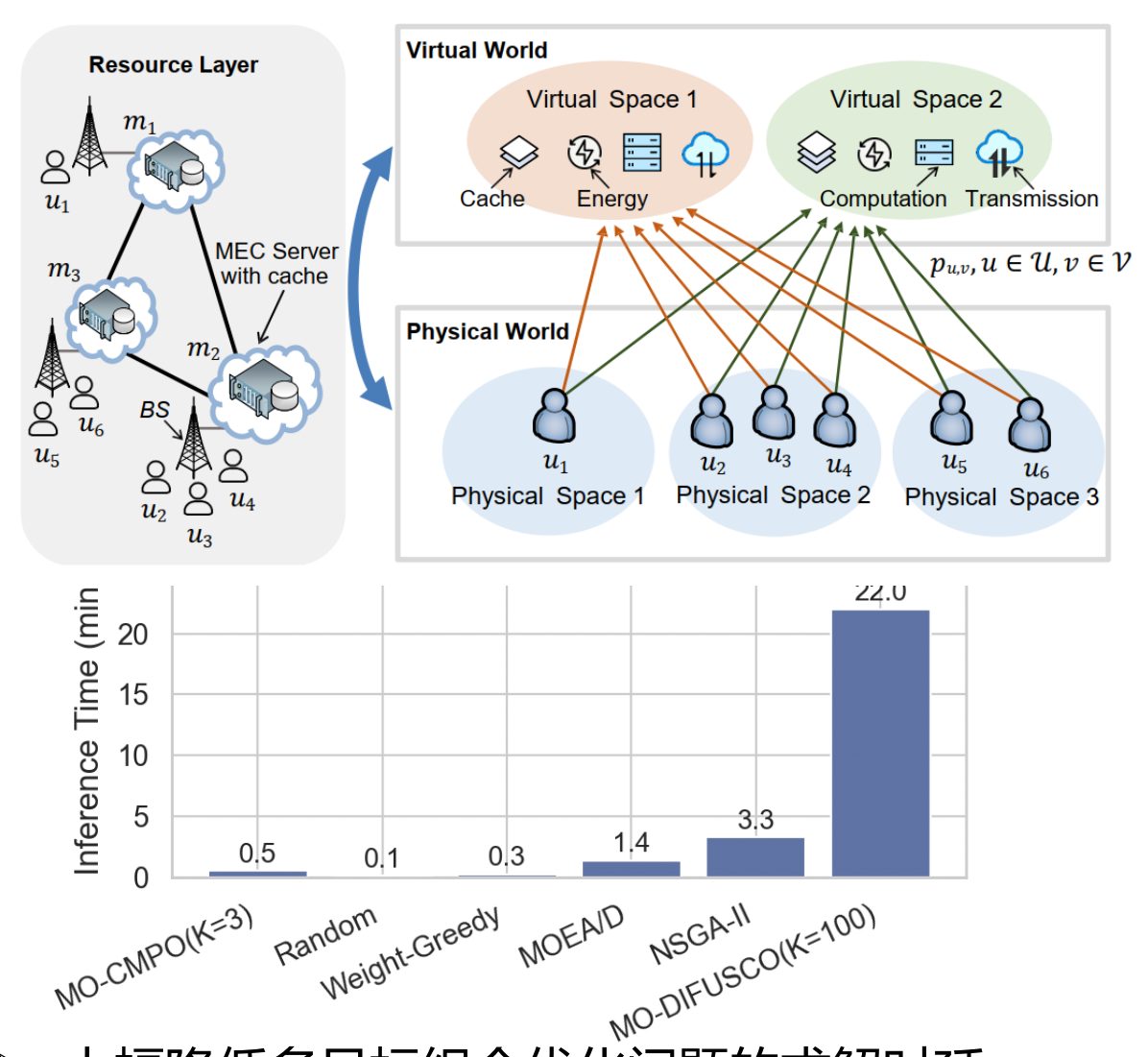


## 实验背景与结果

- **实验背景:** 分布式MEC中,根据VR用 户在虚拟空间中的互动需求,对物理空 间中的资源进行部署
- **实验结果**: MAN中NR基站数据集源于 OpenCellid



所提算法得到更好的帕累托前沿



> 大幅降低多目标组合优化问题的求解时延

[1] C. Xu, Z. Chen, M. Tao, L. Song, and W. Zhang, "Spatial Computing Communications for Multi-User Virtual Reality in Distributed Mobile Edge Computing Network," submitted to IEEE TWC, Aug. 2025.



## 大纲



- 研究背景与动机
- 新方法之鲁棒传输
- 新方法之内容生成
- 新方法之优化求解
- **工作总结与展望**



## 总结与展望



#### ■ 生成式AI使能无线传输

#### 鲁棒传输

加性噪声: y = hx + n

加性干扰:  $y = h_1 x + I + n$ 

加性误差:  $\bar{h} = h + \Delta h$ 

在大量场景下对抗加性失真



与原始目标接近

#### 内容生成

文生图

文字+部分图像生图

类别控制数据生成

各种条件控制下的内容生成



生成语义一致

#### 优化求解

单目标优化

多目标优化

组合优化

目标与约束条件下解生成



逼近最优解空间

#### 受控

## 生成式AI正在重塑无线传输各个环节---->可控生成式通信?





